

фициентов теплового расширения преобразователя, склейки и образца может приводить к возникновению сильных внутренних напряжений и даже потере акустического контакта между преобразователем и образцом. Однако применяемая склейка ГКЖ-94 обычно замерзает при температурах порядка 200 К, и в области азотных температур, как показывает эксперимент, коэффициент передачи звука не изменяется. Для доказательства того, что эмиссия не связана со склейкой, акустическая эмиссия была измерена в стеклянной пластинке тех же размеров, что и исследуемый образец, с тем же преобразователем и склейкой (см. рисунок, точки 2).

Приведенные результаты показывают, что акустическая эмиссия является перспективным методом исследования перестройки структуры высокотемпературных сверхпроводников.

Авторы выражают благодарность В. И. Воронковой за предоставление образца керамики  $\text{YBa}_2\text{Cu}_3\text{O}_{7-y}$ .

Московский государственный  
университет им. М. В. Ломоносова  
Москва

Поступило в Редакцию  
13 февраля 1989 г.

УДК 537.312.62+538.945+548 : 537.611.45

*Физика твердого тела, том 31, в. 8, 1989*  
*Solid State Physics, vol. 31, № 8, 1989*

## МАГНИТНАЯ $T-H$ ФАЗОВАЯ ДИАГРАММА $\text{GdBa}_2\text{Cu}_3\text{O}_{7-\delta}$

Н. А. Дорошенко, Г. Г. Левченко, В. И. Маркович,  
Ю. Ф. Ревенко, И. М. Фита

Выяснению взаимосвязи и влиянию дальнего магнитного порядка на сверхпроводящую подсистему посвящены многочисленные исследования. В настоящей работе изучается этот вопрос на примере соединения  $\text{GdBa}_2\text{Cu}_3\text{O}_{7-\delta}$ , в котором ниже температуры 2.2 К устанавливается коллинеарная антиферромагнитная структура с магнитным моментом, ориентированным вдоль оси  $C$  [1]. Оценки эффективного поля  $H_E$  и поля анизотропии  $H_A < H_E$  [2] позволяют ожидать реализации спин-флоп фазы в диапазоне полей  $H_{\Pi} < H < 2H_E$ , где  $H_{\Pi} = \sqrt{2H_E H_A}$  — поле спин-флоп перехода. Однако попытки построения фазовой диаграммы по данным магнитной восприимчивости [3], теплоемкости [2] и магнитосопротивления [4] не указывают на присутствие СФ фазы, характерной для слабоанизотропных антиферромагнетиков.

С целью исследования  $T-H$  магнитных фазовых диаграмм в сверхпроводящем и нормальном состоянии нами было проведено измерение магнитной восприимчивости образцов  $\text{GdBa}_2\text{Cu}_3\text{O}_{7-\delta}$  в орторомбической и тетрагональной модификациях на переменном токе ( $\hbar \sim 0.3 \div 20$  Э,  $f = 30 \div 3000$  Гц) в диапазоне температур 0.2—100 К в магнитных полях до 40 кЭ. Исследования выполнены на керамических образцах цилиндрической формы ( $\phi 2.3$  мм,  $l=6$  мм,  $t \sim 0.15$  г).

ВТСП-керамика состава  $\text{GdBa}_2\text{Cu}_3\text{O}_{7-\delta}$  синтезировалась из  $\text{Gd}_2\text{O}_3$ ,  $\text{CuO}$  и  $\text{Ba}(\text{NO}_3)_2$ . Прессование образцов проводилось под давлением  $P \sim 1$  ГПа. Спекание ВТСП-керамики проводилось в течение 5 ч при температуре 975 °C в потоке кислорода с последующим охлаждением со скоростью 150 град/ч. Плотность образцов  $\sim 4.7$  г/см<sup>3</sup>, что составляет  $\approx 70\%$  от теоретической, рассчитанной по параметрам решетки.

Для образца орторомбической модификации получено значение температуры сверхпроводящего перехода  $T_c = 92.0$  К по максимальной величине  $d\chi/dT$ . Для образца тетрагональной модификации следы диамагнит-

ного отклика не обнаружены. Восприимчивость образца  $\text{GdBa}_2\text{Cu}_3\text{O}_{7-\delta}$  тетраизональной фазы в области температур 6—60 К следует закону Кюри—Бейсса; полученное значение параметра температуры Кюри  $\Theta = -2.6 \pm 0.2$  К хорошо согласуется с данными работы [2]. Температурная зависимость восприимчивости несверхпроводящего образца имеет вид, характерный для антиферромагнетика с низкой размерностью. Положение максимума  $\chi$  при  $T_m = 2.45 \pm 0.02$  К и температура Нееля  $T_N = 2.2 \pm 0.02$  К, определенная по максимальному значению  $d\chi/dT$ , хорошо соответствуют данным работы [2]. Ниже  $T_N$  наблюдается сильная частотная зависимость  $\chi(T)$ .

Изучение влияния магнитного поля на температуру магнитного упорядочения  $\text{GdBa}_2\text{Cu}_3\text{O}_{7-\delta}$ , как в тетрагональной, так и в орторомбической модификациях проводилось методом измерения полевых зависимостей магнитной восприимчивости при фиксированных температурах. Характерные зависимости  $\chi(H)$  соединения  $\text{GdBa}_2\text{Cu}_3\text{O}_{7-\delta}$  в тетрагональной фазе

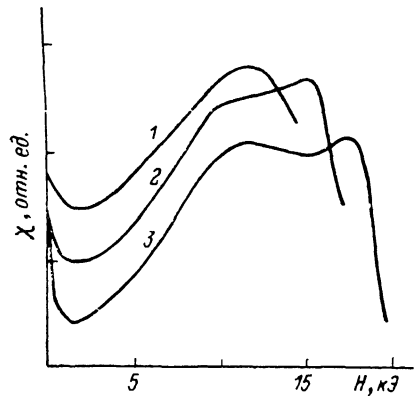


Рис. 1. Полевые зависимости магнитной восприимчивости при  $T=1.85$  (1),  $1.38$  (2) и  $1.03$  К (3).

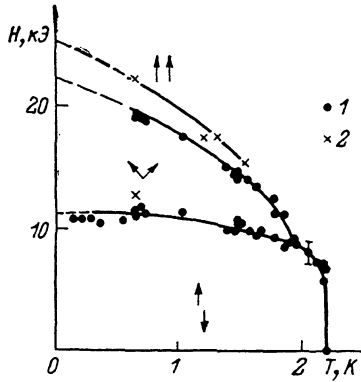


Рис. 2. Магнитная  $H-T$  фазовая диаграмма  $\text{CdBa}_2\text{Cu}_3\text{O}_{7-\delta}$ .  
1 — тетрагональная модификация, 2 — орторомбическая.

при трех фиксированных температурах приведены на рис. 1. Видно, что с понижением температуры происходит трансформация кривой  $\chi(H)$  — вместо одного максимума появляется полка, а затем два максимума. С понижением температуры аномалии  $\chi(H)$  становятся более отчетливыми, при этом амплитуда низкopolевого максимума растет. Отметим, что качественное поведение  $\chi(H)$  сходно при измерениях на частотах 30 Гц и 3 кГц, несмотря на сильное их различие в нулевом поле при  $T < T_N$ . Особенности на полевой зависимости восприимчивости образца орторомбической модификации из-за сильной экранировки сигнала удалось получить лишь при  $T < 1.6$  К, причем по форме кривые  $\chi(H)$  аналогичны зависимостям восприимчивости для образцов тетрагональной модификации. При температурах  $T < 0.7$  К особенности  $\chi(H)$  сверхпроводящего образца явно выражены.

Магнитная фазовая  $T-H$  диаграмма  $\text{GdBa}_2\text{Cu}_3\text{O}_{7-\delta}$  для сверхпроводящих и несверхпроводящих образцов широко обсуждается в [2—4]. В данном случае важное значение имеют количество существующих фаз и топология фазовой диаграммы. По имеющимся данным температура магнитного упорядочения уменьшается с ростом магнитного поля, причем зависимость  $H_c(T)$  авторы связывают с переходом из антиферромагнитной в paramagnитную фазу вплоть до  $T=0.3$  К. Существование СФ фазы не было обнаружено ни в тетрагональной, ни в орторомбической модификациях. Наличие или отсутствие СФ фазы является важным для установления характера процесса намагничивания.

В нашем эксперименте наличие одного максимума на зависимости  $\chi(H)$  отождествляется с переходом между АФМ и ПМ фазами; отметим, что широкие максимумы наблюдаются в области  $T_N < T < T_m$ , что связано с раз-

рушением ближнего порядка. Появление особенности в виде полок на кривой  $\chi(H)$  и последующая трансформация ее в два максимума при понижении температуры связаны с появлением СФ фазы в поле  $H_{c1}$  и с переходом из СФ фазы в ПМ фазу в поле  $H_{c2}$ . Размытие максимумов в зависимости  $\chi(H)$  объясняется тем, что эксперименты проводились на керамических образцах и переход в СФ фазу испытывают лишь те кристаллиты, ось легкого намагничивания которых близка к направлению магнитного поля. Вклад остальных кристаллитов размывает аномалию  $\chi$  в области перехода.

Экспериментальная фазовая диаграмма представлена на рис. 2, из которой экстраполяцией к  $T=0$  определены значения критических полей АФМ—СФ перехода  $H_{c1}(0) \approx 11.4$  кЭ и СФ—ПМ перехода  $H_{c2}(0) \approx 22$  кЭ. Определение  $T_{kp}$  — трикритической точки — вызывает большие затруднения из-за сильного размытия особенностей кривой  $\chi(H)$  при температурах, близких к  $T_{kp} \approx 1.8 \div 1.9$  К. Расчет в теории молекулярного поля с учетом полученных в [2] параметров  $H_E = 14$  кЭ (сумма обменного и дипольного полей) и  $H_A = 4.5$  кЭ (рассчитанная анизотропия дипольного происхождения) дает значение  $H_{c1} = 11.2$  и  $H_{c2} = 23.5$  кЭ. Эти значения близки к экспериментальным, что является подтверждением природы фазовой линии  $H_{c1}(T)$ . Особенностью  $T-H$  диаграммы является сильный рост  $H_{c2}$  с понижением температуры, что характерно для низкоразмерного антиферромагнетика.

Линия  $H_{c2}$  для сверхпроводящих образцов сдвинута в область высоких полей на 1.5—2 кЭ относительно этой линии для образцов тетразональной модификации. Отметим, что наблюдаемый сдвиг больше величины нижнего критического поля  $H_{kp} \approx 600$  Э при  $T \sim 4.2$  К.

Авторы выражают благодарность А. Н. Богданову, В. М. Свистунову, Д. А. Яблонскому за обсуждение работы и ценные замечания.

#### Список литературы

- [1] Smit H. H. A., Dirken M. W., Thiel R. C., de Jongh L. J. // Sol. St. Comm. 1987. V. 64. N 5. P. 695—697.
- [2] Van den Berg J., van der Beek C. J., Kes P. H., Mydosh J. A., Nieuwenhuys G. J., de Jongh L. J. // Sol. St. Comm. 1987. V. 64. N 5. P. 699—703.
- [3] Huang C. Y., Shapira Y., Hor P. H., Meng R. L., Chu C. W. // Modern Physics Lett. B. 1987. V. 1. N 5—6. P. 245—250.
- [4] Tamegai T., Oguro I., Koga K., Watanabe A., Iye Y. // Physics B. 1987. V. 148B. N 1—3. P. 453—455.

Донецкий физико-технический  
институт АН УССР  
Донецк

Поступило в Редакцию  
15 февраля 1989 г.

УДК 537.311

Физика твердого тела, том 31, № 8, 1989  
*Solid State Physics, vol. 31, № 8, 1989*

#### КОМБИНАЦИОННОЕ РАССЕЯНИЕ СВЕТА НА ОПТИЧЕСКИХ ФОНОНАХ В ГЕТЕРОСТРУКТУРАХ Ge/Si

B. A. Гайслер, B. A. Марков, M. P. Синюков, A. B. Талочкин

В недавних работах [1, 2] было показано, что комбинационное рассеяние света позволяет регистрировать фононы, локализованные на границе раздела двух сред. В [1] нами были обнаружены локальные оптические колебания на свободной поверхности германия, а авторами [2] — колебания Ge—Si связей на гетерогранице Ge/Si. В настоящей работе мы исследовали спектры рассеяния гетероструктур Ge/Si и твердых растворов